

# Projeto e Análise de Algoritmos

## Caminhos mínimos

Cid Carvalho de Souza, Cândida Nunes da Silva et al.

Primeiro Semestre de 2017

## Caminhos mínimos com uma origem

## Problema do(s) Caminho(s) Mínimo(s)

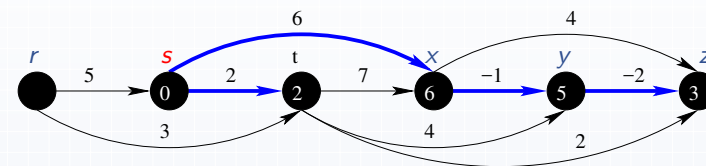
Seja  $G$  um grafo **direcionado** e suponha que para cada aresta  $(u, v)$  associamos um **peso** (custo)  $\omega(u, v)$ . Usaremos a notação  $(G, \omega)$ .

- ▶ **Problema do Caminho Mínimo entre Dois Vértices:**  
Dados dois vértices  $s$  e  $t$  em  $(G, \omega)$ , encontrar um caminho (de peso) mínimo de  $s$  a  $t$ .
- ▶ Aparentemente, este problema não é mais fácil do que o

### Problema dos Caminhos Mínimos com Mesma Origem:

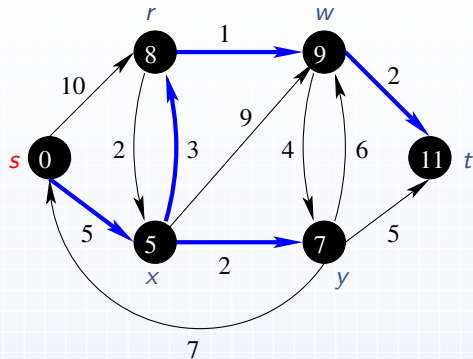
Dados  $(G, \omega)$  e  $s \in V[G]$ , encontrar para cada vértice  $v$  de  $G$ , um caminho mínimo de  $s$  a  $v$ .

## Exemplo: grafo direcionado acíclico



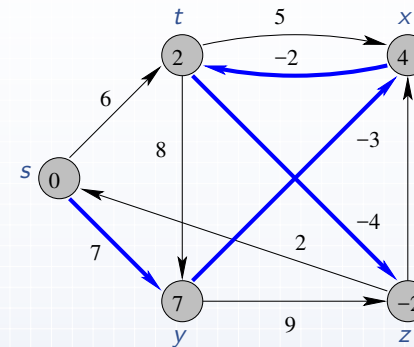
$v$	$s$	$r$	$t$	$x$	$y$	$z$
$\text{dist}(s, v)$	0	$\infty$	2	6	5	3

## Exemplo: grafo direcionado sem arestas negativas



$v$	$s$	$r$	$x$	$y$	$w$	$t$
$\text{dist}(s, v)$	0	8	5	7	9	11

## Exemplo: grafo direcionado com arestas negativas



$v$	$s$	$t$	$x$	$y$	$z$
$\text{dist}(s, v)$	0	2	4	7	-2

## Ideias comuns a todos os algoritmos

- ▶ Usaremos uma ideia similar à usada em Busca em Largura nos algoritmos de caminhos mínimos que veremos.
- ▶ Para cada vértice  $v \in V[G]$  associamos um **predecessor**  $\pi[v]$ .
- ▶ Ao final do algoritmo obtemos uma **Árvore de Caminhos Mínimos** com raiz  $s$ .
- ▶ Um caminho de  $s$  a  $v$  nesta árvore é um caminho mínimo de  $s$  a  $v$  em  $(G, \omega)$ .

## Estimativa de distâncias

- ▶ Para cada  $v \in V[G]$  queremos determinar  $\text{dist}(s, v)$ , o peso de um caminho mínimo de  $s$  a  $v$  em  $(G, \omega)$  (**distância** de  $s$  a  $v$ ).
- ▶ Os algoritmos de caminhos mínimos associam a cada  $v \in V[G]$  um valor  $d[v]$  que é uma **estimativa da distância**  $\text{dist}(s, v)$ .

## Subestrutura ótima de caminhos mínimos

**Teorema.** Seja  $(G, \omega)$  um grafo direcionado **sem ciclos negativos** e seja

$$P = (v_1, v_2, \dots, v_k)$$

um **caminho mínimo** de  $v_1$  a  $v_k$ .

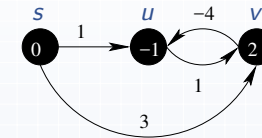
Então para quaisquer  $i, j$  com  $1 \leq i \leq j \leq k$

$$P_{ij} = (v_i, v_{i+1}, \dots, v_j)$$

é um **caminho mínimo** de  $v_i$  a  $v_j$ .

## Subestrutura ótima de caminhos mínimos

A subestrutura ótima **não** vale se  $(G, \omega)$  contém **ciclos negativos**.



O caminho mínimo de  $s$  a  $v$  é  $(s, u, v)$  com peso  $1 + 1 = 2$ .

Porém,  $(s, u)$  **não** é um caminho mínimo de  $s$  a  $u$ .

O caminho mínimo de  $s$  a  $u$  é  $(s, v, u)$  com peso  $3 - 4 = -1$ .

## Inicialização

**INITIALIZE-SINGLE-SOURCE** $(G, s)$

- 1 **para cada** vértice  $v \in V[G]$  **faça**
- 2      $d[v] \leftarrow \infty$
- 3      $\pi[v] \leftarrow \text{NIL}$
- 4      $d[s] \leftarrow 0$

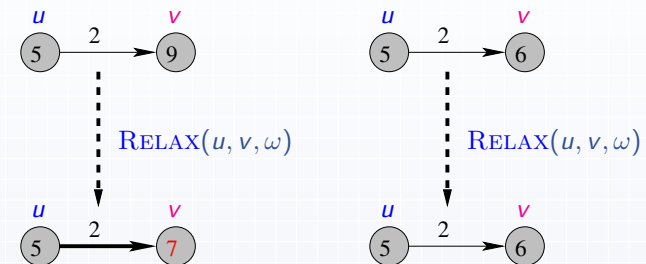
O valor  $d[v]$  é uma **estimativa superior** para o peso de um caminho mínimo de  $s$  a  $v$ .

Ele indica que o algoritmo encontrou até aquele momento um caminho de  $s$  a  $v$  com peso  $d[v]$ .

O caminho pode ser recuperado por meio dos predecessores  $\pi[\cdot]$ .

## Relaxação

Tenta melhorar a estimativa  $d[v]$  examinando  $(u, v)$ .

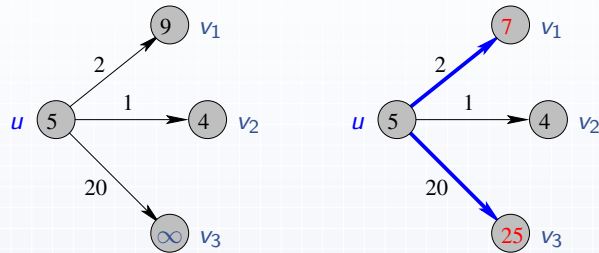


**RELAX** $(u, v, \omega)$

- 1 **se**  $d[v] > d[u] + \omega(u, v)$  **então**
- 2      $d[v] \leftarrow d[u] + \omega(u, v)$
- 3      $\pi[v] \leftarrow u$

## Relaxação dos vizinhos

Em cada iteração o algoritmo seleciona um vértice  $u$  e para cada vizinho  $v$  de  $u$  aplica  $\text{RELAX}(u, v, \omega)$ .



$\text{RELAX}(u, v, \omega)$

- 1 se  $d[v] > d[u] + \omega(u, v)$  então
- 2  $d[v] \leftarrow d[u] + \omega(u, v)$
- 3  $\pi[v] \leftarrow u$

## Caminhos Mínimos

Veremos três algoritmos baseados em relaxação para tipos de instâncias diferentes de Problemas de Caminhos Mínimos.

- ▶  $G$  é acíclico: aplicação de ordenação topológica
- ▶  $(G, \omega)$  não tem arestas de peso negativo: algoritmo de Dijkstra
- ▶  $(G, \omega)$  pode ter arestas de peso negativo, mas não contém ciclos negativos: algoritmo de Bellman-Ford.

## Caminhos mínimos em grafos acíclicos

**Entrada:** grafo direcionado acíclico  $G = (V, E)$  com função peso  $\omega$  nas arestas e uma origem  $s$ .

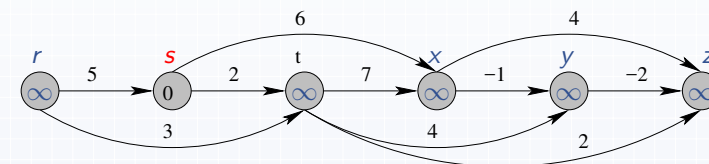
**Saída:** vetor  $d[v] = \text{dist}(s, v)$  para  $v \in V$

e uma **Árvore de Caminhos Mínimos** definida por  $\pi[\cdot]$ .

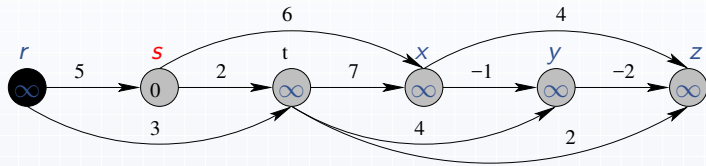
$\text{DAG-SHORTEST-PATHS}(G, \omega, s)$

- 1 Ordene topologicamente os vértices de  $G$
- 2  $\text{INITIALIZE-SINGLE-SOURCE}(G, s)$
- 3 para cada vértice  $u$  na ordem topológica faça
- 4 para cada  $v \in \text{Adj}[u]$  faça
- 5  $\text{RELAX}(u, v, \omega)$
- 6 devolva  $d, \pi$

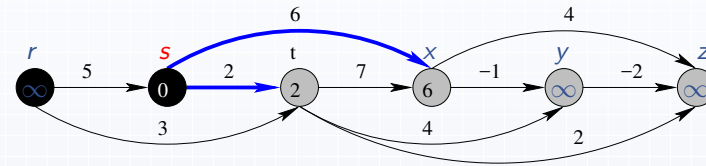
## Exemplo



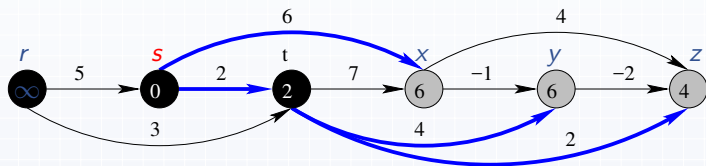
## Exemplo



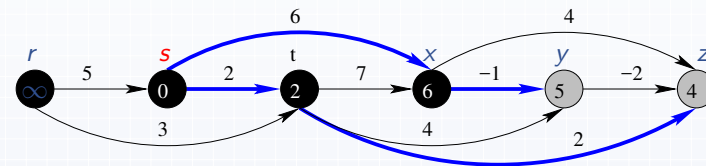
## Exemplo



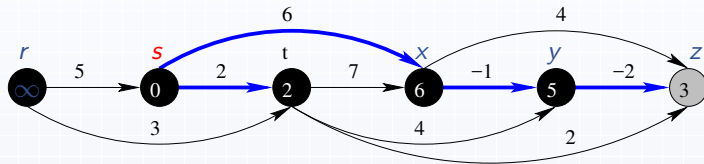
## Exemplo



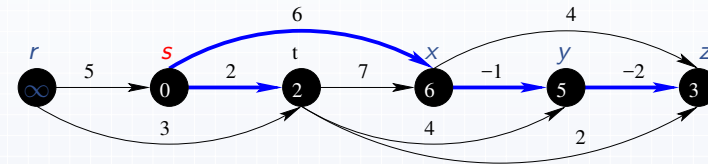
## Exemplo



## Exemplo



## Exemplo



## Complexidade

**DAG-SHORTEST-PATHS**( $G, \omega, s$ )

- 1 Ordene topologicamente os vértices de  $G$
- 2 **INITIALIZE-SINGLE-SOURCE**( $G, s$ )
- 3 **para cada** vértice  $u$  na ordem topológica **faça**
- 4     **para cada**  $v \in \text{Adj}[u]$  **faça**
- 5         **RELAX**( $u, v, \omega$ )
- 6 **devolva**  $d, \pi$

Linha(s)	Tempo total
1	$O(V + E)$
2	$O(V)$
3-5	$O(V + E)$

Complexidade de **DAG-SHORTEST-PATHS**:  $O(V + E)$

## Corretude

A corretude de **DAG-SHORTEST-PATHS** pode ser demonstrada de várias formas.

Vamos mostrar alguns lemas/observações que serão úteis na análise de corretude deste e dos outros algoritmos.

## Algoritmos baseados em relaxação

As propriedades que veremos são para algoritmos que satisfazem as restrições abaixo.

- ▶ O algoritmo é inicializado com `INITIALIZE-SINGLE-SOURCE( $G, s$ )`.
- ▶ Um valor  $d[v]$  (e  $\pi[v]$ ) só pode ser modificado através de uma chamada de `RELAX( $u, v, \omega$ )` para alguma aresta  $(u, v)$ .

## Algoritmos baseados em relaxação

Ao longo do “algoritmo” as seguintes propriedades sempre valem:

- ▶ (Lema 24.11, CLRS)  $d[v] \geq \text{dist}(s, v)$  para  $v \in V$  e  $d[v]$  nunca aumenta. Além disso, se  $d[v]$  fica igual a  $\text{dist}(s, v)$ , então seu valor nunca mais muda.
- ▶ (Corolário 24.12, CLRS) Se não existe caminho de  $s$  a  $v$ , então temos que  $d[v] = \text{dist}(s, v) = \infty$  em qualquer iteração.

## Algoritmos baseados em relaxação — continuação

- ▶ (Lema 24.15, CLRS) Seja  $P$  um caminho mínimo de  $s$  a  $v$  cuja última aresta é  $(u, v)$  e suponha que  $d[u] = \text{dist}(s, u)$  antes de uma chamada `RELAX( $u, v, \omega$ )`. Então após a chamada,  $d[v] = \text{dist}(s, v)$ .
- ▶ (Lema 24.16, CLRS) Seja  $P = (v_1 = s, v_1, \dots, v_k)$  um caminho mínimo de  $v_1$  a  $v_k$  e suponha que as arestas  $(v_1, v_2), \dots, (v_{k-1}, v_k)$  são relaxadas nesta ordem. Então  $d[v_k] = \text{dist}(s, v_k)$ .

## Corretude de DAG-SHORTEST-PATHS

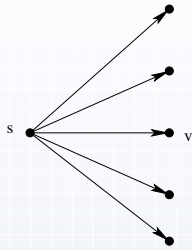
Como os vértices estão em ordem topológica, as arestas de qualquer caminho mínimo  $P = (v_1 = s, v_2, \dots, v_k)$  são relaxadas na ordem  $(v_1, v_2), \dots, (v_{k-1}, v_k)$ .

Logo, pelo Lema 24.16 o algoritmo computa corretamente  $d[v] = \text{dist}(s, v)$  para todo  $v \in V$ .

Também é fácil ver que  $\pi[.]$  define uma **Árvore de Caminhos Mínimos** (Exercício!).

## Corretude de DAG-SHORTEST-PATHS

Outra forma de mostrar a correção de **DAG-SHORTEST-PATHS** é observar que vale a seguinte **recorrência** para  $\text{dist}(s, v)$ :



$$\text{dist}(s, v) = \min_{u: v \in \text{Adj}[u]} \text{dist}(s, u) + \omega(u, v).$$

## Corretude de DAG-SHORTEST-PATHS

**DAG-SHORTEST-PATHS**( $G, \omega, s$ )

- 1 Ordene topologicamente os vértices de  $G$
- 2 **INITIALIZE-SINGLE-SOURCE**( $G, s$ )
- 3 **para cada** vértice  $u$  na ordem topológica **faça**
- 4     **para cada**  $v \in \text{Adj}[u]$  **faça**
- 5         **RELAX**( $u, v, \omega$ )
- 6 **devolva**  $d, \pi$

A correção de **DAG-SHORTEST-PATHS** segue por indução e da validade da fórmula de recorrência

$$\text{dist}(s, v) = \min_{u: v \in \text{Adj}[u]} \text{dist}(s, u) + \omega(u, v).$$

## Perguntas

**Pergunta 1.** Como se resolve o problema de encontrar um **caminho de peso máximo** de  $s$  a  $t$  em um grafo direcionado acíclico ( $G, \omega$ )?

**Pergunta 2.** Como se resolve o **Problema do Caminho Mínimo** de  $s$  a  $t$  em **tempo linear** para um grafo direcionado em que todas as arestas tem o mesmo peso  $C > 0$ ?

Algoritmo de Dijkstra



## Algoritmo de Dijkstra

Veremos agora um algoritmo para caminhos mínimos em grafos que podem conter ciclos, mas **sem arestas de pesos negativo**.

O algoritmo foi proposto por E.W. Dijkstra e é bastante similar ao algoritmo de Prim para o problema da **Árvore Geradora Mínima**.

## Algoritmo de Dijkstra

O algoritmo de Dijkstra recebe um grafo direcionado  $(G, \omega)$  (sem arestas de peso negativo) e um vértice  $s$  de  $G$

e devolve

- ▶ para cada  $v \in V[G]$ , o **peso de um caminho mínimo** de  $s$  a  $v$  ( $d[v] = \text{dist}(s, v)$ )
- ▶ e uma **Árvore de Caminhos Mínimos** com raiz  $s$ . Um caminho de  $s$  a  $v$  nesta árvore é um caminho mínimo de  $s$  a  $v$  em  $(G, \omega)$ .

## Revisão: algoritmos baseados em relaxação

**INITIALIZE-SINGLE-SOURCE** $(G, s)$

- 1 **para cada** vértice  $v \in V[G]$  **faça**
- 2      $d[v] \leftarrow \infty$
- 3      $\pi[v] \leftarrow \text{NIL}$
- 4      $d[s] \leftarrow 0$

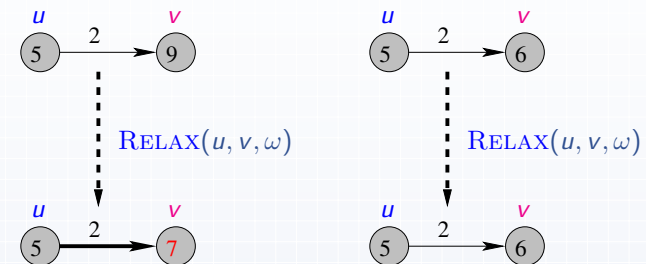
O valor  $d[v]$  é uma **estimativa superior** para o peso de um caminho mínimo de  $s$  a  $v$ .

Ele indica que o algoritmo encontrou até aquele momento um caminho de  $s$  a  $v$  com peso  $d[v]$ .

O caminho pode ser recuperado por meio dos predecessores  $\pi[\cdot]$ .

## Revisão: relaxação

Tenta melhorar a estimativa  $d[v]$  examinando  $(u, v)$ .

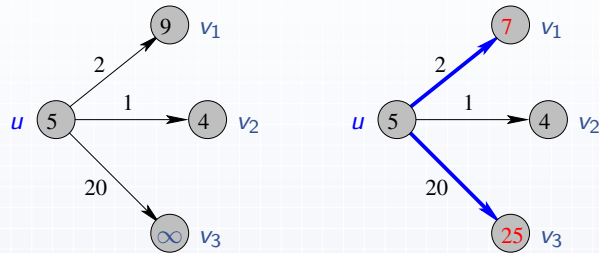


**RELAX** $(u, v, \omega)$

- 1 **se**  $d[v] > d[u] + \omega(u, v)$  **então**
- 2      $d[v] \leftarrow d[u] + \omega(u, v)$
- 3      $\pi[v] \leftarrow u$

## Revisão: relaxação dos vizinhos

Em cada iteração o algoritmo seleciona um vértice  $u$  e para cada vizinho  $v$  de  $u$  aplica  $\text{RELAX}(u, v, \omega)$ .



$\text{RELAX}(u, v, \omega)$

- 1 se  $d[v] > d[u] + \omega(u, v)$  então
- 2  $d[v] \leftarrow d[u] + \omega(u, v)$
- 3  $\pi[v] \leftarrow u$

## Revisão: algoritmos baseados em relaxação

As propriedades que veremos são para algoritmos que satisfazem as restrições abaixo.

- ▶ O algoritmo é inicializado com  $\text{INITIALIZE-SINGLE-SOURCE}(G, s)$ .
- ▶ Um valor  $d[v]$  (e  $\pi[v]$ ) só pode ser modificado através de uma chamada de  $\text{RELAX}(u, v, \omega)$  para alguma aresta  $(u, v)$ .

## Revisão: algoritmos baseados em relaxação

Ao longo do “algoritmo” as seguintes propriedades sempre valem:

- ▶ (Lema 24.11, CLRS)  $d[v] \geq \text{dist}(s, v)$  para  $v \in V$  e  $d[v]$  nunca aumenta. Além disso, se  $d[v]$  fica igual a  $\text{dist}(s, v)$ , então seu valor nunca mais muda.
- ▶ (Corolário 24.12, CLRS) Se não existe caminho de  $s$  a  $v$ , então temos que  $d[v] = \text{dist}(s, v) = \infty$  em qualquer iteração.

## Ideia do algoritmo de Dijkstra

- ▶ Suponha que encontramos até o momento um conjunto  $S$  formado pelos vértices **mais próximos** de  $s$ . (Na primeira iteração  $S = \{s\}$ ).
- ▶ A ideia é estender o conjunto  $S$  acrescentando o vértice  $u$  em  $V - S$  que esteja **mais próximo** de  $S$ . Um detalhe importante é como encontrar tal vértice.
- ▶ O algoritmo mantém também uma **Árvore de Caminhos Mínimos** formada apenas por vértices de  $S$ .

## Algoritmo de Dijkstra

**DIJKSTRA**( $G, \omega, s$ )

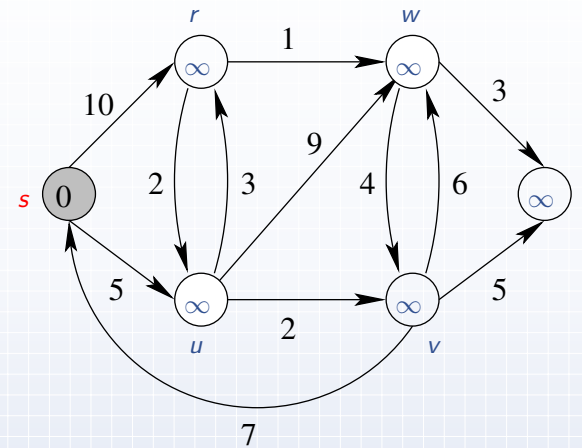
```

1 INITIALIZE-SINGLE-SOURCE( $G, s$ )
2  $S \leftarrow \emptyset$ 
3  $Q \leftarrow V[G]$ 
4 enquanto  $Q \neq \emptyset$  faça
5      $u \leftarrow \text{EXTRACT-MIN}(Q)$ 
6      $S \leftarrow S \cup \{u\}$ 
7     para cada vértice  $v \in \text{Adj}[u]$  faça
8         RELAX( $u, v, \omega$ )
9 devolva  $d, \pi$ 
    
```

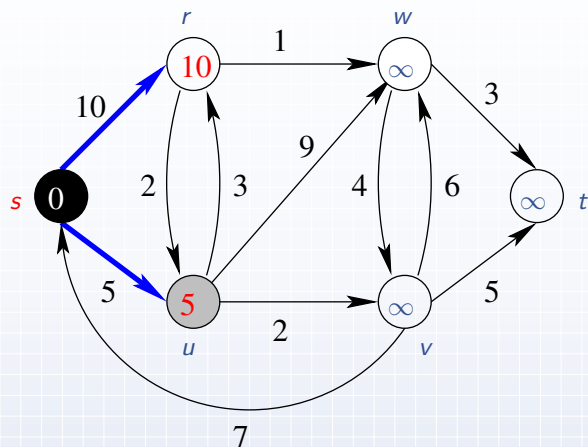
O conjunto  $Q$  é implementado como uma fila de prioridade com chave  $d$ .

O conjunto  $S$  não é realmente necessário, mas simplifica a análise do algoritmo.

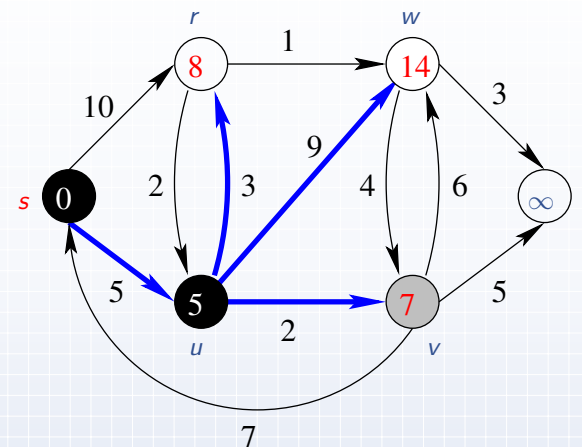
## Exemplo (CLRS modificado)



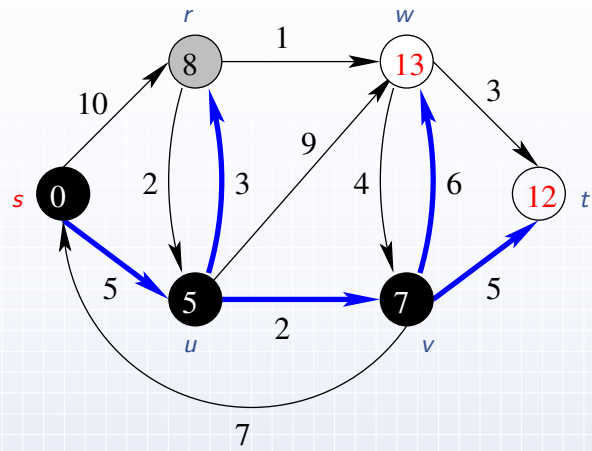
## Exemplo (CLRS modificado)



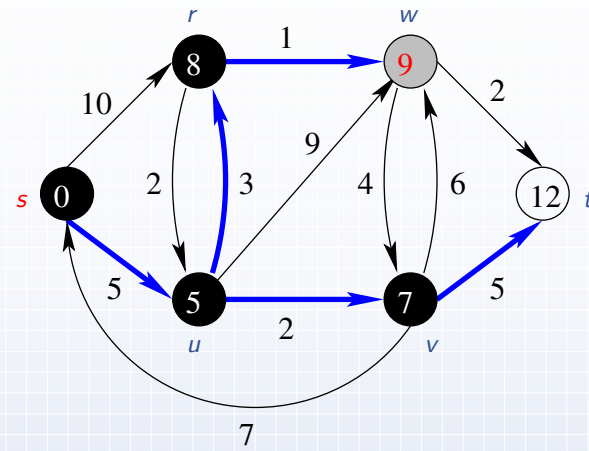
## Exemplo (CLRS modificado)



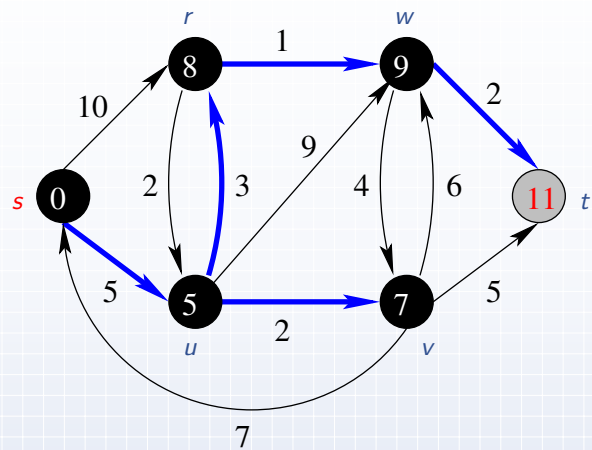
### Exemplo (CLRS modificado)



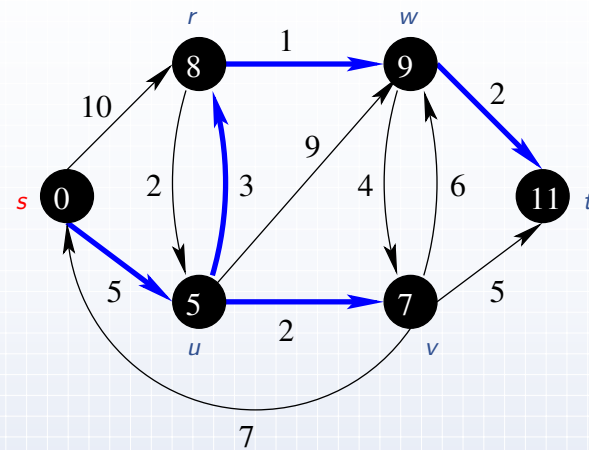
### Exemplo (CLRS modificado)



### Exemplo (CLRS modificado)



### Exemplo (CLRS modificado)



## Correção do algoritmo

Precisamos provar que quando o algoritmo para, temos que

- ▶  $d[v] = \text{dist}(s, v)$  para todo  $v \in V[G]$  e
- ▶  $\pi[\cdot]$  define uma **Árvore de Caminhos Mínimos**.  
Mais precisamente, o conjunto  
 $\{(\pi[x], x) : x \in V[G] - \{s\}, d[x] < \infty\}$   
forma uma **Árvore de Caminhos Mínimos**.

## Alguns invariantes simples

Os seguintes **invariantes** valem em cada iteração do algoritmo **DIJKSTRA** (linha 4).

- ▶ Se  $d[x] < \infty$  então  $\pi[x] \in S$ .
- ▶ O conjunto  
 $\{(x, \pi[x]) : x \in S - \{s\}\}$   
induz uma **árvore** com conjunto de vértices  $S$ .
- ▶ Para cada vértice  $x$  em  $S$ , o caminho de  $s$  a  $x$  na **árvore** tem peso  $d[x]$ .

## Outros invariantes simples

- ▶  $\text{dist}(s, x) \leq d[x]$  para cada vértice  $x$  em  $S$ .
- ▶ Se  $(x, y) \in E[G]$ ,  $x \in S$  e  $y \in V[G] - S$  então

$$d[y] \leq d[x] + \omega(x, y).$$

Isto vale pois quando  $x$  foi inserido em  $S$ , foi executado **RELAX**( $x, y, \omega$ ) e depois disso,  $d[x]$  nunca muda e  $d[y]$  nunca aumenta.

## Invariante principal

O seguinte invariante vale no início de cada iteração da linha 4 no algoritmo **DIJKSTRA**.

**Invariante:**  $d[x] = \text{dist}(s, x)$  para cada  $x \in S$ .

- ▶ Claramente o invariante vale na primeira iteração pois  $S = \emptyset$ . Também vale no início da segunda iteração pois  $S = \{s\}$  e  $d[s] = 0$ .
- ▶ No final do algoritmo,  $S$  é o conjunto dos vértices atingíveis por  $s$ . Portanto, se o invariante vale, para cada  $v \in V[G]$ , o valor  $d[v]$  é exatamente a distância de  $s$  a  $v$ .

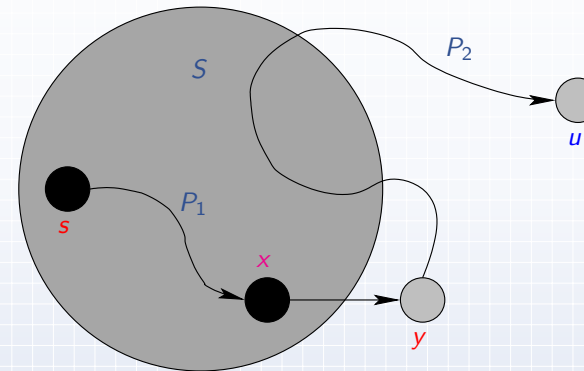
## Demonstração do invariante

- ▶ O algoritmo de DIJKSTRA escolhe um vértice  $u$  com menor  $d[u]$  em  $Q$  e atualiza  $S \leftarrow S \cup \{u\}$ .
- ▶ Basta verificar então que neste momento  $d[u] = \text{dist}(s, u)$ .

Suponha que  $d[u] > \text{dist}(s, u)$  por contradição.

## Demonstração

Seja  $P$  um caminho mínimo de  $s$  a  $u$  (ou seja, com peso  $\text{dist}(s, u)$ ). Seja  $y$  o primeiro vértice de  $P$  que não pertence a  $S$ . Seja  $x$  o vértice em  $P$  que precede  $y$ .



## Demonstração

- ▶  $\text{dist}(s, u) < d[u]$  (por hipótese).
- ▶  $d[x] = \text{dist}(s, x)$  pois  $x \in S$ .

▶ Então

$$\begin{aligned} d[y] &\leq d[x] + \omega(x, y) \text{ (invariante)} \\ &= \text{dist}(s, x) + \omega(x, y) \\ &\leq \text{dist}(s, x) + \omega(x, y) + \omega(P_2) \\ &= \omega(P_1) + \omega(x, y) + \omega(P_2) \\ &= \text{dist}(s, u) \\ &< d[u]. \end{aligned}$$

- ▶ Mas então  $d[y] < d[u]$  o que contraria a escolha de  $u$ . Logo,  $d[u] = \text{dist}(s, u)$  e o invariante vale.

## Dijkstra precisa de arestas com peso não negativo

Note que na demonstração foi importante o fato de não haver arestas negativas no grafo. De fato, não se pode garantir que o algoritmo de Dijkstra funciona se esta hipótese não for válida.

**Exercício.** Encontre um grafo direcionado ponderado com 4 vértices para o qual o algoritmo de Dijkstra **não** funciona. Há pelo menos um exemplo com apenas uma única aresta negativa e sem ciclos de peso negativo.

## Complexidade de tempo

```
DIJKSTRA( $G, \omega, s$ )
1 INITIALIZE-SINGLE-SOURCE( $G, s$ )
2  $S \leftarrow \emptyset$ 
3  $Q \leftarrow V[G]$ 
4 enquanto  $Q \neq \emptyset$  faça
5    $u \leftarrow \text{EXTRACT-MIN}(Q)$ 
6    $S \leftarrow S \cup \{u\}$ 
7   para cada vértice  $v \in \text{Adj}[u]$  faça
8     RELAX( $u, v, \omega$ )
9 devolva  $d, \pi$ 
```

Depende de como a fila de prioridade  $Q$  é implementada.

## Complexidade do algoritmo de Dijkstra

- ▶ As linhas 1–3 correspondem a  $|V|$  chamadas a **INSERT**.
- ▶ O laço da linha 4 é executado  $O(V)$  vezes.  
Total:  $O(V)$  chamadas a **EXTRACT-MIN**.
- ▶ O laço das linhas 7–8 é executado  $O(E)$  vezes no total.  
Ao atualizar uma chave na linha 8 é feita uma *chamada implícita* a **DECREASE-KEY**.  
Total:  $O(E)$  chamadas a **DECREASE-KEY**.
- ▶ **Tempo total:**  
 $O(V)$  **INSERT** +  $O(V)$  **EXTRACT-MIN** +  
 $O(E)$  **DECREASE-KEY**

## Complexidade de tempo

### Tempo total

$O(V)$  **INSERT** +  $O(V)$  **EXTRACT-MIN** +  
 $O(E)$  **DECREASE-KEY**

- ▶ Implementando  $Q$  como um vetor (coloque  $d[v]$  na posição  $v$  do vetor), **INSERT** e **DECREASE-KEY** gastam tempo  $\Theta(1)$  e **EXTRACT-MIN** gasta tempo  $O(V)$ , resultando em um total de  $O(V^2 + E) = O(V^2)$ .
- ▶ Implementando a fila de prioridade  $Q$  como um min-heap, **INSERT**, **EXTRACT-MIN** e **DECREASE-KEY** gastam tempo  $O(\lg V)$ , resultando em um total de  $O((V + E) \lg V)$ .
- ▶ Usando **heaps de Fibonacci** (**EXTRACT-MIN** é  $O(\lg V)$  e **INSERT** e **DECREASE-KEY** são  $O(1)$ ) a complexidade cai para  $O(V \lg V + E)$ .

Algoritmo de Bellman-Ford

## Arestas/ciclos de peso negativo

- ▶ O algoritmo de Dijkstra resolve o Problema dos Caminhos Mínimos quando  $(G, \omega)$  **não** possui **arestas de peso negativo**.
- ▶ Quando  $(G, \omega)$  possui arestas negativas, o algoritmo de Dijkstra não funciona.
- ▶ Uma das dificuldades com arestas negativas é a possível existência de **ciclos de peso negativo** ou simplesmente **ciclos negativos**.

## Ciclos negativos — uma dificuldade

- ▶ Pode-se mostrar que o Problema dos Caminhos Mínimos para instâncias com **ciclos negativos** é **NP-difícil**.
- ▶ Informalmente, se um problema pertence à classe dos **problemas NP-difíceis** então acredita-se que **não** existe algoritmo eficiente para resolvê-lo.
- ▶ Assim, vamos nos restringir ao Problema de Caminhos Mínimos **sem ciclos negativos**.

## Revisão: inicialização

INITIALIZE-SINGLE-SOURCE( $G, s$ )

- 1 **para cada** vértice  $v \in V[G]$  **faça**
- 2      $d[v] \leftarrow \infty$
- 3      $\pi[v] \leftarrow \text{NIL}$
- 4  $d[s] \leftarrow 0$

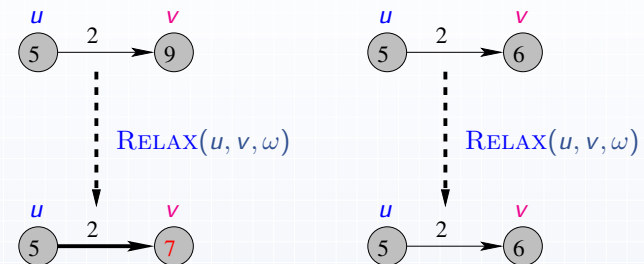
O valor  $d[v]$  é uma **estimativa superior** para o peso de um caminho mínimo de  $s$  a  $v$ .

Ele indica que o algoritmo encontrou até aquele momento um caminho de  $s$  a  $v$  com peso  $d[v]$ .

O caminho pode ser recuperado por meio dos predecessores  $\pi[\ ]$ .

## Revisão: relaxação

Tenta melhorar a estimativa  $d[v]$  examinando  $(u, v)$ .



RELAX( $u, v, \omega$ )

- 1 **se**  $d[v] > d[u] + \omega(u, v)$  **então**
- 2      $d[v] \leftarrow d[u] + \omega(u, v)$
- 3      $\pi[v] \leftarrow u$



## Revisão: algoritmos baseados em relaxação

As propriedades que veremos são para algoritmos que satisfazem as restrições abaixo.

- ▶ O algoritmo é inicializado com `INITIALIZE-SINGLE-SOURCE( $G, s$ )`.
- ▶ Um valor  $d[v]$  (e  $\pi[v]$ ) só pode ser modificado através de uma chamada de `RELAX( $u, v, \omega$ )` para alguma aresta  $(u, v)$ .

## Revisão: algoritmos baseados em relaxação

Ao longo do “algoritmo” as seguintes propriedades sempre valem:

- ▶ (Lema 24.11, CLRS)  $d[v] \geq \text{dist}(s, v)$  para  $v \in V$  e  $d[v]$  nunca aumenta. Além disso, se  $d[v]$  fica igual a  $\text{dist}(s, v)$ , então seu valor nunca mais muda.
- ▶ (Corolário 24.12, CLRS) Se não existe caminho de  $s$  a  $v$ , então temos que  $d[v] = \text{dist}(s, v) = \infty$  em qualquer iteração.

## Revisão: algoritmos baseados em relaxação

- ▶ (Lema 24.15, CLRS) Seja  $P$  um caminho mínimo de  $s$  a  $v$  cuja última aresta é  $(u, v)$  e suponha que  $d[u] = \text{dist}(s, u)$  antes de uma chamada `RELAX( $u, v, \omega$ )`. Então após a chamada,  $d[v] = \text{dist}(s, v)$ .
- ▶ (Lema 24.16, CLRS) Seja  $P = (v_1 = s, v_1, \dots, v_k)$  um caminho mínimo de  $v_1$  a  $v_k$  e suponha que as arestas  $(v_1, v_2), \dots, (v_{k-1}, v_k)$  são relaxadas nesta ordem. Então  $d[v_k] = \text{dist}(s, v_k)$ .

## Ideia do algoritmo de Bellman-Ford

- ▶ Na iteração  $i = 1$  executamos `RELAX` para todas as arestas. Isto garante que a primeira aresta de qualquer caminho mínimo será relaxada.
- ▶ Repetimos este passo para as iterações  $i = 2, 3, \dots, |V| - 1$ . Por que  $|V| - 1$ ?  
Porque um caminho tem no máximo  $|V| - 1$  arestas. Assim, após essas  $|V| - 1$  iterações, garantidamente, todas as arestas de um caminho mínimo foram relaxadas na ordem desejada.
- ▶ É preciso fazer mais uma iteração de relaxar todas as arestas para verificar se o grafo contém ciclos negativos. Se houver, não há garantia de que os valores obtidos nas  $|V| - 1$  primeiras iterações estão corretas.

## O algoritmo de Bellman-Ford

O algoritmo de Bellman-Ford recebe um grafo direcionado  $(G, \omega)$  (possivelmente com arestas de peso negativo) e um vértice origem  $s$  de  $G$ .

Ele devolve um valor booleano

- ▶ FALSE se existe um ciclo negativo atingível a partir de  $s$ , ou
- ▶ TRUE e neste caso devolve também uma **Árvore de Caminhos Mínimos** com raiz  $s$ .

## O algoritmo de Bellman-Ford

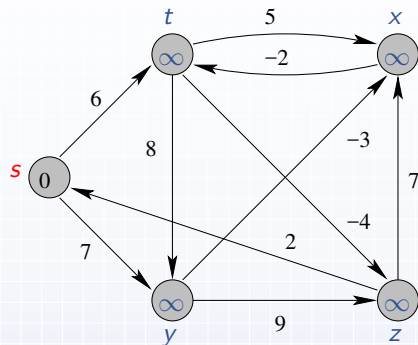
**BELLMAN-FORD** $(G, \omega, s)$

```

1  INITIALIZE-SINGLE-SOURCE( $G, s$ )
2  para  $i \leftarrow 1$  até  $|V[G]| - 1$  faça
3    para cada aresta  $(u, v) \in E[G]$  faça
4      RELAX( $u, v, \omega$ )
5  para cada aresta  $(u, v) \in E[G]$  faça
6    se  $d[v] > d[u] + \omega(u, v)$ 
7      então devolva FALSE
8  devolva TRUE,  $d, \pi$ 
    
```

Complexidade de tempo:  $O(VE)$

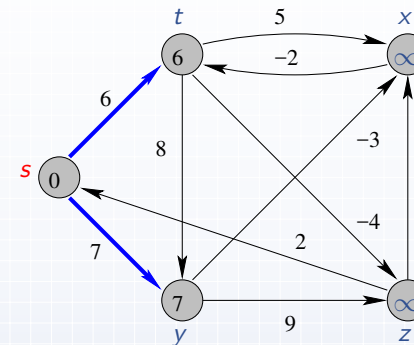
## Exemplo (CLRS)



Ordem:

$(t, x), (t, y), (t, z), (x, t), (y, x), (y, z), (z, x), (z, s), (s, t), (s, y)$ .

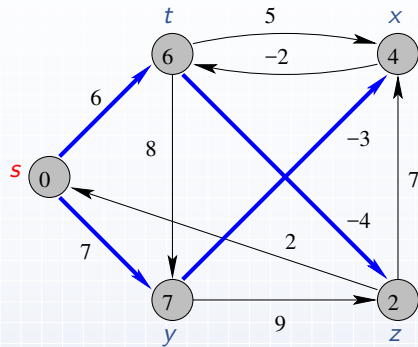
## Exemplo (CLRS)



Ordem:

$(t, x), (t, y), (t, z), (x, t), (y, x), (y, z), (z, x), (z, s), (s, t), (s, y)$ .

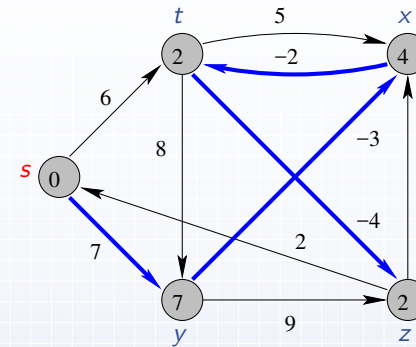
## Exemplo (CLRS)



Ordem:

$(t, x), (t, y), (t, z), (x, t), (y, x), (y, z), (z, x), (z, s), (s, t), (s, y)$ .

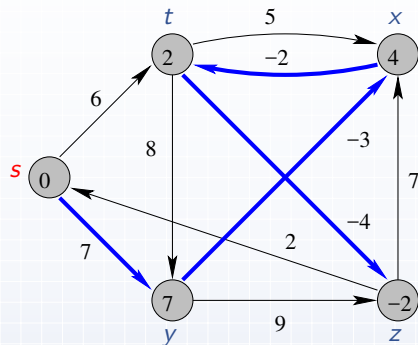
## Exemplo (CLRS)



Ordem:

$(t, x), (t, y), (t, z), (x, t), (y, x), (y, z), (z, x), (z, s), (s, t), (s, y)$ .

## Exemplo (CLRS)



Ordem:

$(t, x), (t, y), (t, z), (x, t), (y, x), (y, z), (z, x), (z, s), (s, t), (s, y)$ .

## Corretude do algoritmo Bellman-Ford

### Teorema 24.4 (CLRS).

Se  $(G, \omega)$  não contém ciclos negativos atingíveis por  $s$ , então no final

- ▶ o algoritmo devolve TRUE,
- ▶  $d[v] = \text{dist}(s, v)$  para  $v \in V$  e
- ▶  $\pi[]$  define uma **Árvore de Caminhos Mínimos**.

Se  $(G, \omega)$  contém ciclos negativos atingíveis por  $s$ , então no final o algoritmo devolve FALSE.

## Corretude do algoritmo Bellman-Ford

### Teorema 24.4 (CLRS).

Se  $(G, \omega)$  não contém ciclos negativos atingíveis por  $s$ , então no final

- ▶ o algoritmo devolve TRUE,
- ▶  $d[v] = \text{dist}(s, v)$  para  $v \in V$  e
- ▶  $\pi[]$  define uma **Árvore de Caminhos Mínimos**.

Se  $(G, \omega)$  contém ciclos negativos atingíveis por  $s$ , então no final o algoritmo devolve FALSE.

## Corretude do algoritmo Bellman-Ford

Primeiramente, vamos supor que o grafo não possui ciclos negativos atingíveis por  $s$ .

Relembrando...

(Lema 24.16, CLRS) Seja  $P = (v_0 = s, v_1, \dots, v_k)$  um caminho mínimo de  $v_0$  a  $v_k$  e suponha que as arestas  $(v_0, v_1), (v_1, v_2), \dots, (v_{k-1}, v_k)$  são relaxadas nesta ordem. Então  $d[v_k] = \text{dist}(s, v_k)$ .

## Corretude do algoritmo Bellman-Ford

Seja  $v$  um vértice atingível por  $s$  e seja

$$P = (v_0 = s, v_1, \dots, v_k = v)$$

um caminho mínimo de  $s$  a  $v$ .

Note que  $P$  tem no máximo  $|V| - 1$  arestas. Cada uma das  $|V| - 1$  iterações do laço das linhas 2–4 relaxa todas as  $|E|$  arestas.

Na iteração  $i$  a aresta  $(v_{i-1}, v_i)$  é relaxada.

Logo, pelo Lema 24.16,  $d[v] = d[v_k] = \text{dist}(s, v)$ .

## Corretude do algoritmo Bellman-Ford

Se  $v$  é um vértice não atingível por  $s$  pode-se mostrar que  $d[v] = \infty$  no final (Exercício).

Assim, no final do algoritmo  $d[v] = \text{dist}(s, v)$  para  $v \in V$ .

Pode-se verificar que  $\pi[]$  define uma **Árvore de Caminhos Mínimos** (veja CLRS para detalhes).

## Corretude do algoritmo Bellman-Ford

Agora falta mostrar que **BELLMAN-FORD** devolve TRUE.

Seja  $(u, v)$  uma aresta de  $G$ . Então

$$\begin{aligned}d[v] &= \text{dist}(s, v) \\ &\leq \text{dist}(s, u) + \omega(u, v) \\ &= d[u] + \omega(u, v).\end{aligned}$$

A desigualdade acima vale pois supomos que  $(G, w)$  não contém ciclos negativos.

Assim nenhum dos testes da linha 6 faz com que o algoritmo devolva FALSE. Logo, ele devolve TRUE.

## Corretude do algoritmo Bellman-Ford

Suponha que  $(G, w)$  contém um **ciclo negativo** alcançável por  $s$ .

Seja  $C = (v_0, v_1, \dots, v_k = v_0)$  um tal ciclo.

Então  $\sum_{i=1}^k \omega(v_{i-1}, v_i) < 0$ .

Suponha por contradição que o algoritmo devolve TRUE.

Então  $d[v_i] \leq d[v_{i-1}] + \omega(v_{i-1}, v_i)$  para  $i = 1, 2, \dots, k$ .

## Corretude do algoritmo Bellman-Ford

Somando as desigualdades ao longo do ciclo temos

$$\begin{aligned}\sum_{i=1}^k d[v_i] &\leq \sum_{i=1}^k (d[v_{i-1}] + \omega(v_{i-1}, v_i)) \\ &= \sum_{i=1}^k d[v_{i-1}] + \sum_{i=1}^k \omega(v_{i-1}, v_i).\end{aligned}$$

Como  $v_0 = v_k$ , temos que  $\sum_{i=1}^k d[v_i] = \sum_{i=1}^k d[v_{i-1}]$ .

Mas então  $\sum_{i=1}^k \omega(v_{i-1}, v_i) \geq 0$  o que contraria o fato do ciclo ser negativo.

Isto conclui a prova de corretude.

## Aplicação: Sistemas de restrições de diferenças

Considere o seguinte sistema de desigualdades lineares:

$$\begin{aligned}x_1 - x_2 &\leq 0 \\ x_1 - x_5 &\leq -1 \\ x_2 - x_5 &\leq 1 \\ x_3 - x_1 &\leq 5 \\ x_4 - x_1 &\leq 4 \\ x_4 - x_3 &\leq -1 \\ x_5 - x_3 &\leq -3 \\ x_5 - x_4 &\leq -3\end{aligned}$$

Queremos encontrar valores  $x_1, x_2, \dots, x_n$  que satisfazem estas **restrições de diferença**.

## Sistemas de restrições de diferenças

Sistemas de restrições de diferença tem várias aplicações.

$$\begin{aligned}x_1 - x_2 &\leq 0 \\x_1 - x_5 &\leq -1 \\x_2 - x_5 &\leq 1 \\x_3 - x_1 &\leq 5 \\x_4 - x_1 &\leq 4 \\x_4 - x_3 &\leq -1 \\x_5 - x_3 &\leq -3 \\x_5 - x_4 &\leq -3\end{aligned}$$

Por exemplo, a incógnita  $x_i$  pode representar o instante do tempo que um evento  $i$  deve ocorrer. Uma restrição  $x_j - x_i \leq b_k$  diz que uma certa quantidade de tempo  $b_k$  deve passar entre os eventos  $i$  e  $j$ . Um evento poderia ser a execução de uma certa tarefa durante a fabricação de um produto.

## Sistemas de restrições de diferenças

Podemos reescrever as restrições matricialmente:

$$\begin{pmatrix} 1 & -1 & 0 & 0 & 0 \\ 1 & 0 & 0 & 0 & -1 \\ 0 & 1 & 0 & 0 & -1 \\ -1 & 0 & 1 & 0 & 0 \\ -1 & 0 & 0 & 1 & 0 \\ 0 & 0 & -1 & 1 & 0 \\ 0 & 0 & -1 & 0 & 1 \\ 0 & 0 & 0 & -1 & 1 \end{pmatrix} \begin{pmatrix} x_1 \\ x_2 \\ x_3 \\ x_4 \\ x_5 \end{pmatrix} \leq \begin{pmatrix} 0 \\ -1 \\ 1 \\ 5 \\ 4 \\ -1 \\ -3 \\ -3 \end{pmatrix}$$

Um sistema de restrições de diferença é um sistema da forma  $Ax \leq b$  onde  $A$  é uma matriz com entradas  $\{-1, 0, 1\}$  em que cada linha há exatamente um 1 e um  $-1$ .

## Sistemas de restrições de diferenças

Podemos reescrever as restrições matricialmente:

$$\begin{pmatrix} 1 & -1 & 0 & 0 & 0 \\ 1 & 0 & 0 & 0 & -1 \\ 0 & 1 & 0 & 0 & -1 \\ -1 & 0 & 1 & 0 & 0 \\ -1 & 0 & 0 & 1 & 0 \\ 0 & 0 & -1 & 1 & 0 \\ 0 & 0 & -1 & 0 & 1 \\ 0 & 0 & 0 & -1 & 1 \end{pmatrix} \begin{pmatrix} x_1 \\ x_2 \\ x_3 \\ x_4 \\ x_5 \end{pmatrix} \leq \begin{pmatrix} 0 \\ -1 \\ 1 \\ 5 \\ 4 \\ -1 \\ -3 \\ -3 \end{pmatrix}$$

Uma solução é  $x = (-5, -3, 0, -1, -4)$ .  
Outra solução é  $x' = (0, 2, 5, 4, 1)$ .

## Sistemas de restrições de diferenças

**Lema 24.8 (CLRS)** Seja  $x = (x_1, \dots, x_n)$  uma solução de um sistema  $Ax \leq b$  de restrições de diferença. Seja  $d$  uma constante. Então

$$x + d = (x_1 + d, \dots, x_n + d)$$

também é uma solução de  $Ax \leq b$ .

Mostraremos a seguir como encontrar uma solução de um sistema  $Ax \leq b$  de restrições de diferença resolvendo um problema de caminhos mínimos.

## Grafo de restrições

A matriz  $A$  de dimensões  $m \times n$  pode ser vista como a transposta de uma **matriz de incidência** de um grafo direcionado (veja a lista de exercícios) com  $n$  vértices e  $m$  arestas.

Cada vértice  $v_i$  corresponde a uma variável  $x_i$ .

Cada aresta  $(v_i, v_j)$  corresponde a uma restrição  $x_j - x_i \leq b_k$ .

A este grafo acrescentamos um vértice origem  $v_0$ .

## Grafo de restrições

Formalmente, dado o sistema  $Ax \leq b$  de restrições de diferença, construímos o grafo  $G = (V, E)$  tal que

$$V = \{v_0, v_1, \dots, v_n\}$$

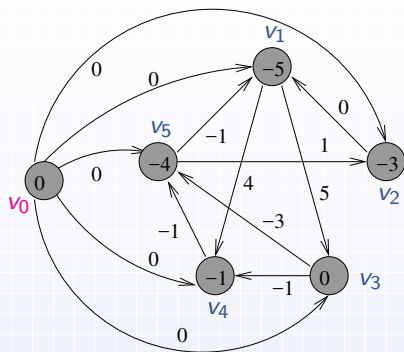
e

$$E = \{(v_i, v_j) : x_j - x_i \leq b_k \text{ é uma restrição}\} \\ \cup \{(v_0, v_1), (v_0, v_2), \dots, (v_0, v_n)\}.$$

Note que todo vértice é atingível a partir de  $v_0$ .

Para cada restrição  $x_j - x_i \leq b_k$  temos uma aresta  $(v_i, v_j)$  com peso  $\omega(v_i, v_j) = b_k$ . O peso da aresta  $(v_0, v_i)$  é igual a zero para todo  $v_i$ .

## Grafo de restrições



Uma solução viável é  $x = (-5, -3, -0, -1, -4)$ .

## Grafo de restrições

**Teorema 24.9 (CLRS)** Seja  $Ax \leq b$  um sistema de restrições de diferença e seja  $G = (V, E)$  o grafo de restrições associado. Se  $G$  não contém ciclos negativos, então

$$x = (\text{dist}(v_0, v_1), \text{dist}(v_0, v_2), \dots, \text{dist}(v_0, v_n))$$

é uma solução viável do sistema.

Se  $G$  contém ciclos negativos, então o sistema não possui solução viável.

## Resolvendo um sistema de restrições de diferença

O Teorema 24.9 nos diz que podemos usar o algoritmo de Bellman-Ford (com origem  $v_0$ ) para resolver um sistema de restrições de diferença!

Como todo vértice é atingível a partir de  $v_0$ , se existir um ciclo negativo, este será detectado pelo algoritmo.

Se não existir ciclo negativo, então as distâncias computadas pelo algoritmo formam uma solução viável do sistema.

Se  $A$  é uma matriz  $m \times n$ , então o grafo de restrições  $G$  possui  $n + 1$  vértices e  $n + m$  arestas. Assim, usando o algoritmo de Bellman-Ford podemos encontrar uma solução em tempo  $O((n + 1)(n + m)) = O(n^2 + nm)$ .

## Caminhos mínimos entre todos os pares

O problema agora é dado um grafo  $(G, \omega)$  encontrar para todo par  $u, v$  de vértices um caminho mínimo de  $u$  a  $v$ .

Obviamente podemos executar  $|V|$  vezes um algoritmo de Caminhos Mínimos com Mesma Origem.

- ▶ Se  $(G, \omega)$  não possui arestas negativas podemos usar o algoritmo de Dijkstra implementando a fila de prioridade como
  - um vetor:  $|V|.O(V^2) = O(V^3)$  ou
  - min-heap binário:  $|V|.O(E \lg V) = O(VE \lg V)$  ou
  - heap de Fibonacci:  $|V|.O(V \lg V + E) = O(V^2 \lg V + VE)$ .
- ▶ Se  $(G, \omega)$  possui arestas negativas podemos usar o algoritmo de Bellman-Ford:  $|V|.O(VE) = O(V^2E)$ .

## Caminhos mínimos entre todos os pares de vértices

## O algoritmo de Floyd-Warshall

Veremos agora um método direto para resolver o problema que é assintoticamente melhor se  $G$  é denso.

O algoritmo de Floyd-Warshall baseia-se em programação dinâmica e resolve o problema em tempo  $O(V^3)$ .

O grafo  $(G, \omega)$  pode ter arestas negativas, mas suporemos que **não** contém ciclos negativos.

Adotaremos a convenção de que se  $(i, j)$  não é uma aresta de  $G$  então  $\omega(i, j) = \infty$ .



## Estrutura de um caminho mínimo

Seja  $P = (v_1, v_2, \dots, v_l)$  um caminho.

Um vértice **interno** de  $P$  é qualquer vértice de  $P$  distinto de  $v_1$  e  $v_l$ , ou seja, em  $\{v_2, \dots, v_{l-1}\}$ .

Para simplificar, suponha que  $V = \{1, 2, \dots, n\}$ .

## Estrutura de um caminho mínimo

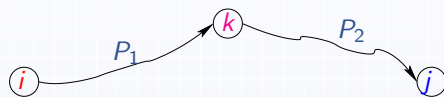
Sejam  $i$  e  $j$  dois vértices de  $G$ . Considere todos os caminhos de  $i$  a  $j$  cujos **vértices internos** pertencem a  $\{1, \dots, k\}$ . Seja  $P$  um caminho mínimo entre todos eles.

O algoritmo de Floyd-Warshall explora a relação entre  $P$  e certos caminhos mínimos com vértices internos em  $\{1, \dots, k-1\}$ .

**Caso 1:** Se  $k$  não é um vértice interno de  $P$  então  $P$  é um caminho mínimo de  $i$  a  $j$  com vértices internos em  $\{1, \dots, k-1\}$ .

## Estrutura de um caminho mínimo

**Caso 2:** Se  $k$  é um vértice interno de  $P$  então  $P$  pode ser dividido em dois caminhos  $P_1$  (com início em  $i$  e fim em  $k$ ) e  $P_2$  (com início em  $k$  e fim em  $j$ ).



- ▶  $P_1$  é um caminho mínimo de  $i$  a  $k$  com vértices internos em  $\{1, \dots, k-1\}$
- ▶  $P_2$  é um caminho mínimo de  $k$  a  $j$  com vértices internos em  $\{1, \dots, k-1\}$ .

## Recorrência para caminhos mínimos

Seja  $d_{ij}^{(k)}$  o peso de um caminho mínimo de  $i$  a  $j$  com vértices internos em  $\{1, 2, \dots, k\}$ .

Quando  $k = 0$  então  $d_{ij}^{(0)} = \omega(i, j)$ .

Temos a seguinte recorrência:

$$d_{ij}^{(k)} = \begin{cases} \omega(i, j) & \text{se } k = 0, \\ \min(d_{ij}^{(k-1)}, d_{ik}^{(k-1)} + d_{kj}^{(k-1)}) & \text{se } k \geq 1. \end{cases}$$

Note que  $d_{ij}^{(n)} = \text{dist}(i, j)$ .

Podemos calcular as matrizes  $D^{(k)} = (d_{ij}^{(k)})$  para  $k = 1, 2, \dots, n$ .

A resposta do problema é  $D^{(n)}$ .

## Algoritmo de Floyd-Warshall

A entrada do algoritmo é a matriz  $W = (\omega(i, j))$  com  $n = |V|$  linhas e colunas.

A saída é a matriz  $D^{(n)}$ .

**FLOYD-WARSHALL**( $W, n$ )

```

1   $D^{(0)} \leftarrow W$ 
2  para  $k \leftarrow 1$  até  $n$  faça
3    para  $i \leftarrow 1$  até  $n$  faça
4      para  $j \leftarrow 1$  até  $n$  faça
5         $d_{ij}^{(k)} \leftarrow \min(d_{ij}^{(k-1)}, d_{ik}^{(k-1)} + d_{kj}^{(k-1)})$ 
6  devolva  $D^{(n)}$ 
    
```

Complexidade:  $O(V^3)$

## Como encontrar os caminhos?

O algoritmo devolve também uma matriz  $\Pi = (\pi_{ij})$  tal que

- (a)  $\pi_{ij} = \text{NIL}$  se  $i = j$  ou se não existe caminho de  $i$  a  $j$ , ou
- (b)  $\pi_{ij}$  é o **predecessor** de  $j$  em algum caminho mínimo a partir de  $i$ , caso contrário.

Podemos computar os predecessores ao mesmo tempo que o algoritmo calcula as matrizes  $D^{(k)}$ . Determinamos uma sequência de matrizes  $\Pi^{(0)}, \Pi^{(1)}, \dots, \Pi^{(n)}$  e  $\pi_{ij}^{(k)}$  é o predecessor de  $j$  em um caminho mínimo a partir de  $i$  com vértices internos em  $\{1, 2, \dots, k\}$ .

Quando  $k = 0$  temos

$$\pi_{ij}^{(0)} = \begin{cases} \text{NIL} & \text{se } i = j \text{ ou } \omega(i, j) = \infty, \\ i & \text{se } i \neq j \text{ e } \omega(i, j) < \infty. \end{cases}$$

## Como encontrar os caminhos?

Para  $k \geq 1$  procedemos da seguinte forma. Considere um caminho mínimo  $P$  de  $i$  a  $j$ .

Se  $k$  não aparece em  $P$  então tomamos como  $\pi_{ij}^{(k)}$  o predecessor de  $j$  em um caminho mínimo de  $i$  a  $j$  com vértices internos em  $\{1, 2, \dots, k-1\}$ , ou seja,  $\pi_{ij}^{(k-1)}$ .

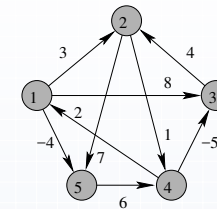
Caso contrário, tomamos como  $\pi_{ij}^{(k)}$  o predecessor de  $j$  em um caminho mínimo de  $k$  a  $j$  com vértices internos em  $\{1, 2, \dots, k-1\}$ , ou seja,  $\pi_{kj}^{(k-1)}$ .

Formalmente,

$$\pi_{ij}^{(k)} = \begin{cases} \pi_{ij}^{(k-1)} & \text{se } d_{ij}^{(k-1)} \leq d_{ik}^{(k-1)} + d_{kj}^{(k-1)}, \\ \pi_{kj}^{(k-1)} & \text{se } d_{ij}^{(k-1)} > d_{ik}^{(k-1)} + d_{kj}^{(k-1)}. \end{cases}$$

**Exercício.** Incorpore esta parte no algoritmo!

## Exemplo



$$D^{(0)} = \begin{pmatrix} 0 & 3 & 8 & \infty & -4 \\ \infty & 0 & \infty & 1 & 7 \\ \infty & 4 & 0 & \infty & \infty \\ 2 & \infty & -5 & 0 & \infty \\ \infty & \infty & \infty & 6 & 0 \end{pmatrix} \quad \Pi^{(0)} = \begin{pmatrix} N & 1 & 1 & N & 1 \\ N & N & N & 2 & 2 \\ N & 3 & N & N & N \\ 4 & N & 4 & N & N \\ N & N & N & 5 & N \end{pmatrix}$$

$$D^{(1)} = \begin{pmatrix} 0 & 3 & 8 & \infty & -4 \\ \infty & 0 & \infty & 1 & 7 \\ \infty & 4 & 0 & \infty & \infty \\ 2 & 5 & -5 & 0 & -2 \\ \infty & \infty & \infty & 6 & 0 \end{pmatrix} \quad \Pi^{(1)} = \begin{pmatrix} N & 1 & 1 & N & 1 \\ N & N & N & 2 & 2 \\ N & 3 & N & N & N \\ 4 & 1 & 4 & N & 1 \\ N & N & N & 5 & N \end{pmatrix}$$



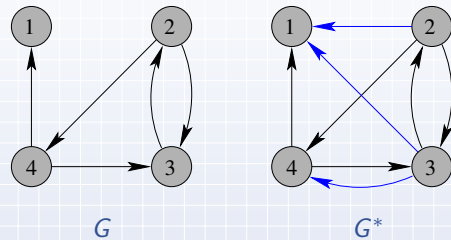
## Fecho transitivo de grafos direcionados

Seja  $G = (V, E)$  um grafo direcionado com  $V = \{1, 2, \dots, n\}$ .

Suponha que para cada par  $i, j \in V$ , queremos determinar se existe um caminho de  $i$  a  $j$  em  $G$ .

O fecho transitivo de  $G = (V, E)$  é o grafo  $G^* = (V, E^*)$  onde

$$E^* = \{(i, j) : \text{existe um caminho de } i \text{ a } j \text{ em } G\}.$$



## Fecho transitivo de grafos direcionados

Um modo de determinar o fecho transitivo de um grafo  $G = (V, E)$  em tempo  $\Theta(V^3) = \Theta(n^3)$  é atribuir peso 1 a cada aresta de  $E$  e executar FLOYD-WARSHALL. Se  $d_{ij} < n$  então existe um caminho de  $i$  a  $j$ . Caso contrário, não existe tal caminho.

Há outra forma de fazer isto com mesma complexidade assintótica, mas que pode economizar tempo e espaço na prática.

A ideia é adaptar o algoritmo de Floyd-Warshall substituindo as operações aritméticas  $\min$  e  $+$  pelas operações lógicas  $\vee$  (OR lógico) e  $\wedge$  (AND lógico).

## Fecho transitivo de grafos direcionados

Para  $i, j, k$  em  $\{1, 2, \dots, n\}$ , seja  $t_{ij}^{(k)}$  o valor lógico da expressão “existe um caminho de  $i$  a  $j$  em  $G$  com vértices internos em  $\{1, 2, \dots, k\}$ ”. Assim,  $(i, j)$  é uma aresta do fecho transitivo  $G^*$  se e somente se  $t_{ij}^{(n)} = 1$ .

Note que

$$t_{ij}^{(0)} = \begin{cases} 0 & \text{se } i \neq j \text{ e } (i, j) \notin E, \\ 1 & \text{se } i = j \text{ ou } (i, j) \in E. \end{cases}$$

e para  $k \geq 1$ ,

$$t_{ij}^{(k)} = t_{ij}^{(k-1)} \vee (t_{ik}^{(k-1)} \wedge t_{kj}^{(k-1)}).$$

Como no Floyd-Warshall, calculamos as matrizes  $T^{(k)} = (t_{ij}^{(k)})$ .

## Algoritmo de Transitive-Closure

A entrada do algoritmo é uma matriz de adjacência  $A$  com  $n = |V|$  linhas e colunas.

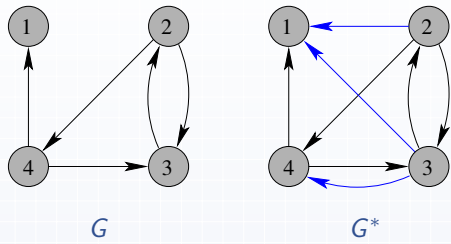
A saída é a matriz  $T^{(n)}$ .

TRANSITIVE-CLOSURE( $A, n$ )

```
1  $T^{(0)} \leftarrow A + I_n$ 
2 para  $k \leftarrow 1$  até  $n$  faça
3   para  $i \leftarrow 1$  até  $n$  faça
4     para  $j \leftarrow 1$  até  $n$  faça
5        $t_{ij}^{(k)} \leftarrow t_{ij}^{(k-1)} \vee (t_{ik}^{(k-1)} \wedge t_{kj}^{(k-1)})$ 
6 devolva  $T^{(n)}$ 
```

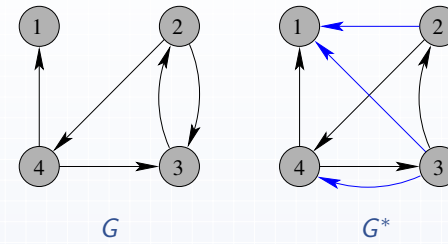
Complexidade:  $O(V^3)$

## Exemplo



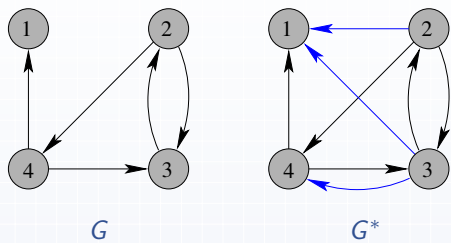
$$T^{(0)} = \begin{pmatrix} 1 & 0 & 0 & 0 \\ 0 & 1 & 1 & 1 \\ 0 & 1 & 1 & 0 \\ 1 & 0 & 1 & 1 \end{pmatrix} \quad T^{(1)} = \begin{pmatrix} 1 & 0 & 0 & 0 \\ 0 & 1 & 1 & 1 \\ 0 & 1 & 1 & 0 \\ 1 & 0 & 1 & 1 \end{pmatrix}$$

## Exemplo



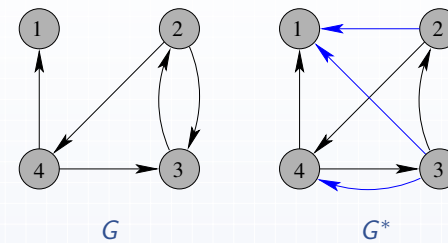
$$T^{(1)} = \begin{pmatrix} 1 & 0 & 0 & 0 \\ 0 & 1 & 1 & 1 \\ 0 & 1 & 1 & 0 \\ 1 & 0 & 1 & 1 \end{pmatrix} \quad T^{(2)} = \begin{pmatrix} 1 & 0 & 0 & 0 \\ 0 & 1 & 1 & 1 \\ 0 & 1 & 1 & 1 \\ 1 & 0 & 1 & 1 \end{pmatrix}$$

## Exemplo



$$T^{(2)} = \begin{pmatrix} 1 & 0 & 0 & 0 \\ 0 & 1 & 1 & 1 \\ 0 & 1 & 1 & 1 \\ 1 & 0 & 1 & 1 \end{pmatrix} \quad T^{(3)} = \begin{pmatrix} 1 & 0 & 0 & 0 \\ 0 & 1 & 1 & 1 \\ 0 & 1 & 1 & 1 \\ 1 & 1 & 1 & 1 \end{pmatrix}$$

## Exemplo



$$T^{(3)} = \begin{pmatrix} 1 & 0 & 0 & 0 \\ 0 & 1 & 1 & 1 \\ 0 & 1 & 1 & 1 \\ 1 & 1 & 1 & 1 \end{pmatrix} \quad T^{(4)} = \begin{pmatrix} 1 & 0 & 0 & 0 \\ 1 & 1 & 1 & 1 \\ 1 & 1 & 1 & 1 \\ 1 & 1 & 1 & 1 \end{pmatrix}$$

## Algoritmo de Transitive-Closure

Note que poderíamos usar um bit para cada posição das matrizes  $T^{(k)}$  e as operações lógicas  $\vee$  e  $\wedge$  podem ser implementadas com operadores de bits.

Isto reduz consideravelmente o espaço do ponto de vista prático e pode acelerar o algoritmo se a implementação de operações lógicas for eficiente. Note que isto não afeta a análise assintótica.